

なぎさ型浮消波堤の実地実験

東京製鋼(株) EG部 根本平口小川 勘

まえがき

大水深の沖合に消波施設を設置する場合、従来の重力式防波堤ではその規模に限界があるようであり、しかも海水の交流を妨げる欠点がある。

なぎさ型浮消波堤はこのような欠点をなくすために考案されたものの一つであり、なぎさ斜面の碎波現象を沖合につくり出して消波を図るとするものである。⁽¹⁾

特長は1. 海水を流を妨げない 2. 反射率が小さい 3. エアレーションが促進される 4. 係留ラインの張力が小さくて済む 5. 提体の安定性がよいである。

碎波が十分に行なわるためには浮設した消波板の動搖を可能な限り抑えることが必要である。このためにコラムスタビライジングと2段バリヤー⁽²⁾による動搖抑制機能が備えられてある。

さらに提体を安全に係留しておいためにとくに係留ラインの張力が過大にならないように提体の構造および係留方法に考慮が払われている。

沼津市内浦湾での実地実験でこのよなぎさ型浮消波堤の特長を確認することができたのでその成果の一端について報告する。

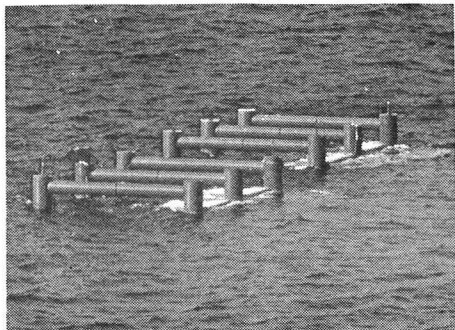


写真-1 なぎさ型浮消波堤

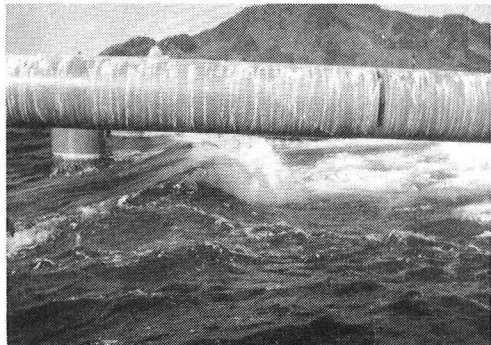


写真-2 斜面上の碎波

1. 設置場所

設置場所は駿河湾の奥であるここから一般に静穏な海域である。

年間を通して最も海が荒れる時期は台風の来襲したとき、および西風が卓越する冬の2~3月である。

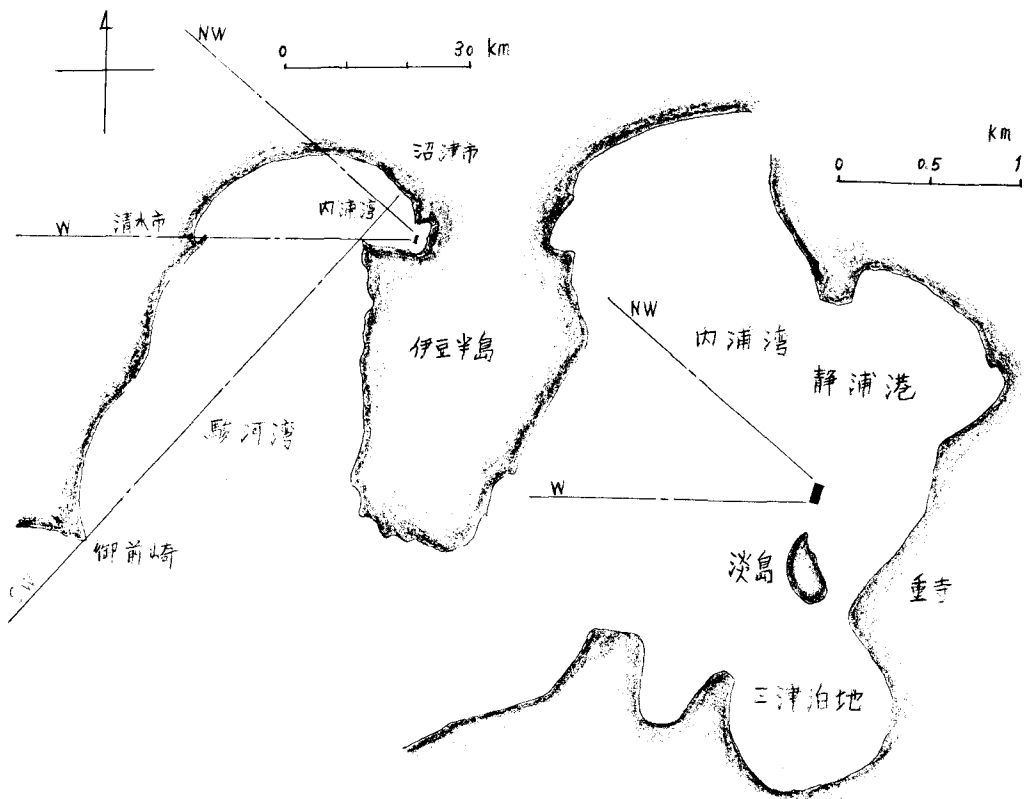
過去5年間に観測された資料では、波高2.5mを超えたものは3回があり、3.0mを超えた波は観測されなかつた。

西風に対する最大吹送距離は清水市方面からの35kmであり、波高3.5m 周期7.3sec が発生する条件をSMB法によること求めると 2.7 m/sec 吹送時間2時間となる。

以上の観測資料および推定値から設計波を次のように設定した。

設計波 波高 $H = 3.5 \text{ m}$
周期 $T = 7.3 \text{ sec}$

水深 $h = 50 \text{ m}$
潮流 $V = 1.0 \text{ m/sec}$



設置場所の地形図

2. 構造

水深が急に浅くなると碎波するがこのときエネルギーの相当部分が消散される。
左さき型消波堤は大水深の沖合に浮設して局部的な浅海域をつくり、波を碎くことによって静穏な海域をつくり出そうとする消波施設である。

堤体の主要部材は図-1 および写真-3 に示したようすで消波板、安定板およびこれを結合するコラムフロートの3つであり、消波板は碎波させるために適当な深さのところに傾斜させて設置している。

安定板は消波板の動搖を抑えるために比較的深いところに水平に設置し、コラムフロートの頭部は水面から突出して適当な余剰浮力を付与せている。

実地実験に用いたプロトタイプ⁽³⁾は主として波力測定を主眼としており、過去5年間における波浪観測データを対象に設計し鋼管構造とした。

とくに安全を考慮して鋼管の肉厚を厚くした(9 mm)が消波板と安定板は実験期間が1年6ヶ月と短かることから、デッキパレット(2.3 mm)を使用している。

なお、設計は「海洋鋼構造物設計指針(案)」(昭和48年)に準拠している。

固有周期(計算値)

ビーピング 39 sec.
ピッキング 16 "
ローリング 20 "

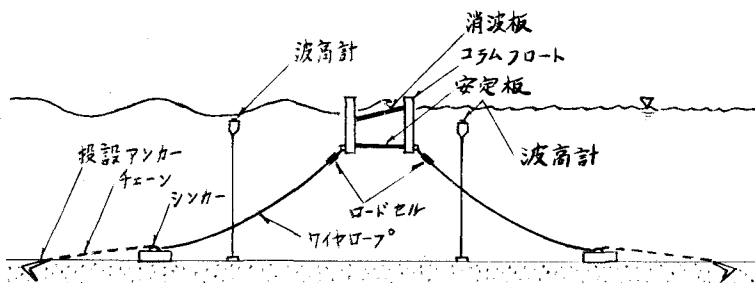


図-1 友々型消波堤の基本型

堤体の仕様は次のとおりである。

表-1 堤体の仕様

| 重量 | 幅(波向) | 長さ | 高さ | 喫水 | 余剰浮力 | 全排水量 | 全浮力 | 堤体数 |
|------|-------|--------|-------|-------|------|------|------|-----|
| 48 t | 7.5 m | 12.0 m | 7.5 m | 6.2 m | 15 t | 54 t | 69 t | 2 枚 |

堤体の防食はタールエポキシ塗料と流電陽極法による電気防食を併用している。

塗装の仕様は次のとおりである。

表-2 塗装仕様

| 区分 | 品名 | 塗装回数 | 全塗装膜厚(μ) |
|-----|---------------------|-------|----------|
| 没水部 | SDジンクプライマー ZENO 100 | 1 | 15 |
| | エポシールNT | 2 | 250 |
| 水上部 | SDジンクプライマー ZENO 100 | 1 | 15 |
| | エポシールNT + ラバマリンB/斤 | 2 + 2 | 250 + 80 |

係留ラインは堤体に運動の自由度を与えるために適當な長さが必要であり、このため水深の3倍の長さとした。
形状は海底に接するカテナリ一曲線とし、アンカーの位置を決めて初期張力を与えた。

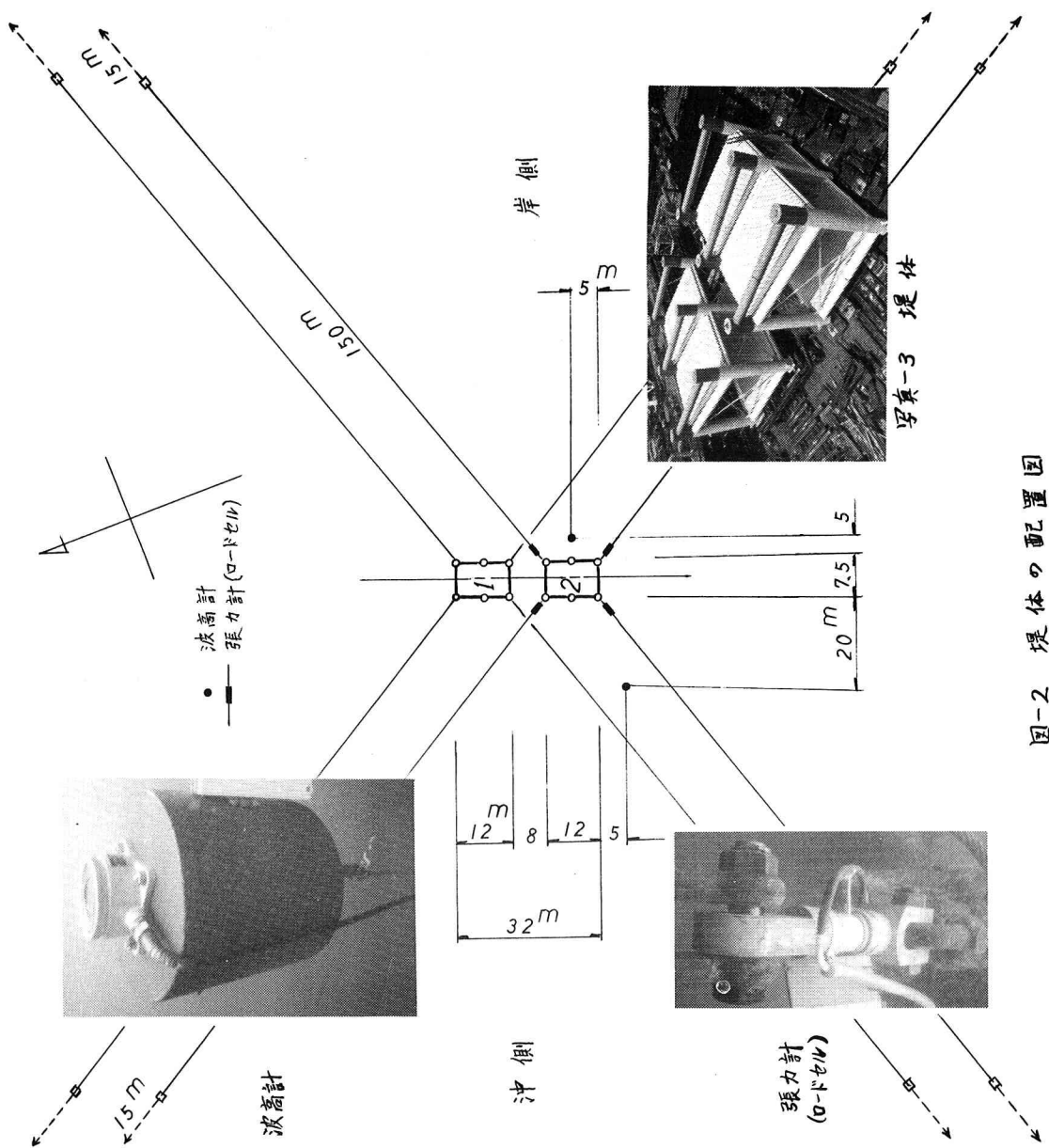
海底が軟質土であるため施工性のよいかり投設アンカーを用いたこととし、係留ラインの中途に担駆力の減少を防止するためと衝撃を緩和させたためにシンカーを着底して取付けている。

係留ラインの仕様は表-3のとおりである。堤体の配置図を図-2に示しておいた。

表-3 係留ラインの仕様

| 部材 | 沖側 | 岸側 |
|-------|-----------------------|-----------------|
| 係留索 | ワイヤロープ 42 mm 長さ 150 m | 同左 (ナイロン12被覆) |
| 同水中単重 | 5.7 Kg/m | 同左 |
| チエーン | 48 mm 長さ 15 m | 32 mm 長さ 15 m |
| アンカー | クリックホールドアンカー 3.5 t | 同左 2.3 t (空中重量) |
| シンカー | コンクリートブロック 7 t | 同左 4 t (空中重量) |

図-2 堤体の配置図



3. 計測

計測器は図-2に示したように反射波の影響の少ないところに入射波高計、2号堤の直後に透過波高計、2号堤の4本の係留ラインの導出部に各々張力計(ロードセル)がそれぞれ設置されており、全ての検出器の出力信号は日時とともに同時に記録される。

記録は2時間毎に波高がチェックされそのとき波高が規定値を越えていれば10分間カセットテープに記録される。計測システムは図-3に示したとおりである。

消波効果をより正確に調べるには堤体の長さをできる限り長くする必要があるが、実験の規模に限界があるのを考慮して透過波高計を堤体に近づけて回折波の影響が小さくなるようにして測定した。

波高計は水圧式であり、静水面下3mの深さに強制保留在された中間ゲイの頭頂に固定されてます。

出力信号はケーブルを介して堤体の鋼管の中に収納されてます計測器に自動記録されます。

4. 消波効果および保留ラインの張力

実地実験の透過率 H_T/H_1 (H_1 : 入射波高、 H_T : 透過波高) は入射波および透過波をそれぞれの有義波で代表し、その比をとったもので表わすと 0.51 ~ 0.52 であります。16mm フィルムの記録と対比すると十分消波されてますことが確認できます。

堤幅波長比 λ/L (λ : 堤幅、 L : 波長) を有義波長から計算し透過率を図示すると図-4 のとおりです。

左が、2次元波動水槽模型(縮尺4分の1)による規則波の消波効果を含むて図-4 に示しておいた。

波形勾配の大きさにより透過率が異なり同一波長でも消波能力に差異が生じるようあります。

模型実験は波形勾配 0.015 ~ 0.040 の規則波に関するデータであります。

図-4によれば堤幅の消波効果に対する影響が顕著であります。必要とする消波能力に応じて堤幅を決定すればよろしくが判ります。

堤幅波長比 λ/L を 0.25 ~ 0.5 にとれば透過率 H_T/H_1 は 0.4 程度確保できよう。現在、実験継続中であるデータがデータが整理された時点でパワースペクトル解析とともにここで詳しくまとめます。

実地実験では冬期季節風による最高波高 $H_{max} = 2.2 \text{ m}$ を記録したが保留ラインの張力は 0.8t と小さく、波の卓越周期(堤体の動揺周期)とほぼ同一周期(同位相)で変動し、衝撃力は認められなかった。

保留ロープの初期張力は 1.6t である。設計段階では保留ラインの張力を 35t と見積もつたが実測値が小さいのでさすに水槽模型実験の張力を調べ、張力が十分小さく済むことを確認した。

5. 堤体の安定性

消波能力を向上させたためには、なぎさ斜面の動搖をできる限り抑制することが不可欠であります本浮消波堤体の目的のために考案された浮体である。

すなわち、浮体の動搖に対する減衰力が大きくかつ復元力が小さくなるように工夫されてます。

ポンツーンでは通常減衰力は無視されるが本浮体では重要な役割を果す。

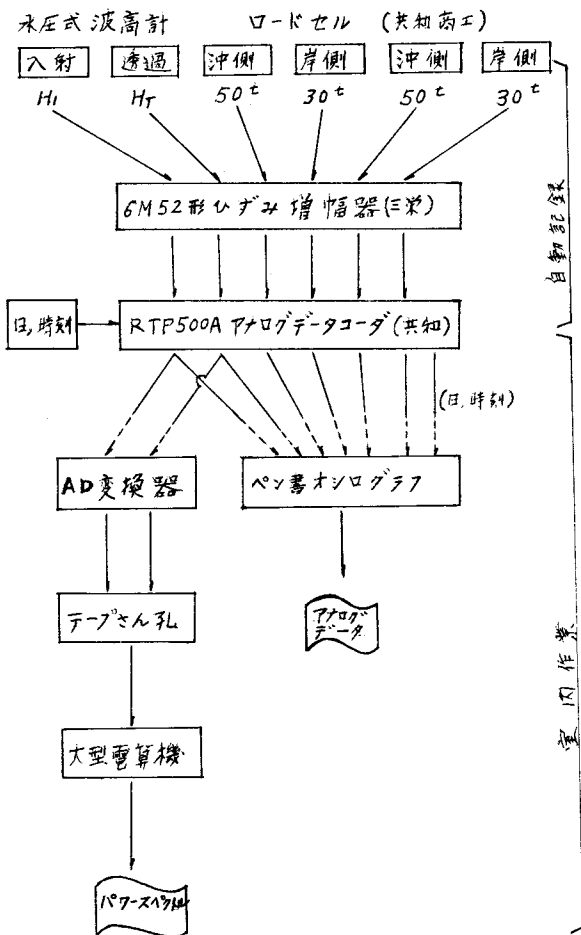


図-3 計測システム

ポンツーンでは本固有周期と波の周期が一致すると動搖振幅が数倍に達する場合があるが本浮体ではこのような共振現象は観察されない。

模型実験によると減衰常数を求めるとヒーピングが 0.98、ピッキングが 0.91 が求められた。

実地実験では有義波 $H_s = 1.5 \text{ m}$, $T_s = 4.2 \text{ sec}$ に対して動搖の最も大きい岸側コアムの上下動が最大 0.6 m と観測された。

サージング、スウェイイングおよびヨーイングは係留ラインの方法に大きく左右されるが少なくとも水粒子の回転半径を越えることはないと考えられるので衝突の心配は少ないと思われる。

実地実験でのサージングは目視観測によると 0.5 m 以下であり僅少であった。

6. 今後の検討事項

堤体を設計する際にはとにかく水平板および傾斜板に作用する波力とその分布が重要である。

実施設計においては模型実験から得られた波力およびその分布を使用しているが、理論的基礎についてさらに検討を加える必要があると思われる。

係留ラインの張力についても同様であり、堤体の特長的な形狀からくる係留ラインの張力変動についてもさることなく検討しておく必要があると思われる。

以上、模型実験を積重ねてさらに実地実験を試みた結果、本浮消波堤の性能が十分確認されたとともに実用化のための有益なデータを得ることができた。

現在、あらゆる条件に適応できる設計、製作手法の確立を進めている。

引用・参考文献

- (1) 畑 錠男 消波システム研究会 昭和 49 年 6 月
- (2) 加藤重一 土木学会誌 昭和 49 年 5 月
- (3) 服部昌太郎 消波システム研究会 昭和 49 年 5 月

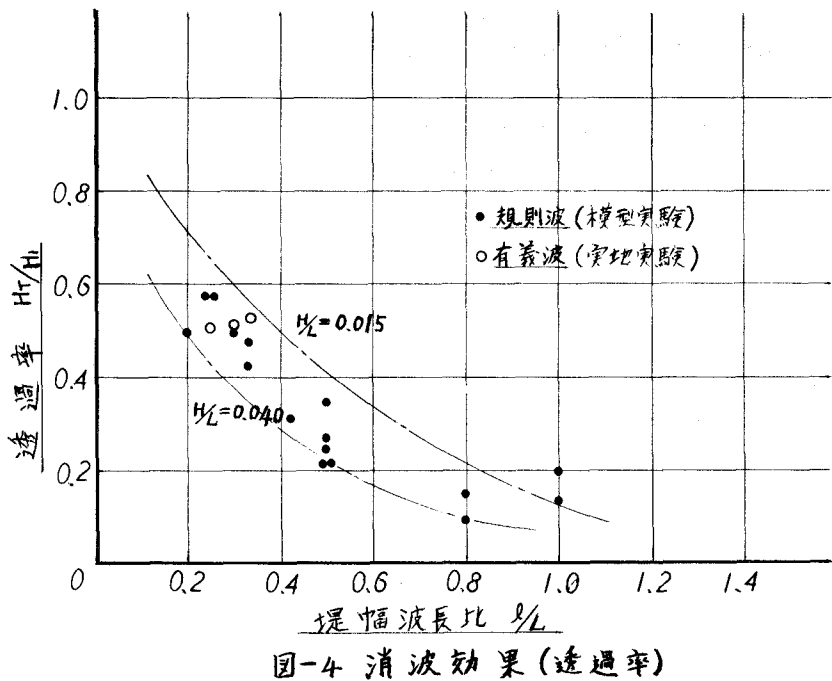


図-4 消波効果 (透過率)